

## ЛИТЕРАТУРА

1. Маделунг Э. Математический аппарат физики. — М.: Наука, 1968.
2. Бермант А. Ф. Отображения, криволинейные координаты, преобразования, формулы Грина. — М.: Физматгиз, 1958.
3. Шилд Р. Т. О пластическом течении металлов в условиях осевой симметрии. Сб. пер. Механика, 1958, № 1.
4. Липпман Г. Теория главных траекторий при осесимметричной пластической деформации. Сб. пер. Механика, 1963, № 3.
5. Ивлев Д. Д. Теория идеальной пластичности. — М.: Наука, 1966.
6. Ишлинский А. Ю. Осесимметричная задача и проба Бриелля. — ПММ, 1944, т. 8, вып. 3.
7. Spenser A. J. M. The approximate solution of certain problem of axially symmetric plastic flow. — J. Mech. Phys. Solids, 1964, v. 12, p. 231.
8. Rogozinski M. On Naar — Karman hipotesis. — Arch. Mech. Stos., 1966, v. 18, N 6.
9. Непершин Р. И. О решении кинематически определяемых задач осесимметричного пластического течения. — Машиноведение, 1972, № 2.
10. Сегал В. М. Технологические задачи теории пластичности. — Минск: Наука и техника, 1977.
11. Корн Г., Корн Т. Справочник по математике. — М.: Наука, 1976.
12. Христианович С. А. Механика сплошной среды. — М.: Наука, 1981.
13. Ивлев Д. Д., Ершов Л. В. Метод возмущений в теории упругопластического тела. — М.: Наука, 1978.
14. Хилл Р. Математическая теория пластичности. — М.: Техтеориздат, 1956.
15. Symonds P. S. On the general equations of problems of axial symmetry in the theory of plasticity. — Quart. of appl. mathem., 1949, v. 6, N 4.
16. Cox A. D., Eason G., Hopkins H. G. Axially symmetric plastic deformations in soils. — Philos. Trans. Roy. Soc. London. Ser. A, 1961, v. 254, N 1036.
17. Мосолов П. П., Мясников В. П. Механика жесткопластических сред. — М.: Наука, 1984.
18. Малинин Н. Н. Технологические задачи пластичности и ползучести. — М.: Вышш. шк., 1979.
19. Степановский Л. Г. О границах очага пластической деформации при выдавливании. — Вестн. машиностроения, 1963, № 9.
20. Чудаков П. Д., Коробкин В. Д. Усилия волочения редуцирования и выдавливания неупругиего материала через коническую матрицу. — В кн.: Разработка и исследование технологических процессов обработки металлов давлением. М.: Металлургия, 1968.

Поступила 11/III 1985 г.

УДК 539.37

## ОДИН КЛАСС СЛОЖНЫХ НАГРУЖЕНИЙ НЕУПРУГОЙ СРЕДЫ

А. Ф. Ревуженко

(Новосибирск)

В механике сплошной среды большую роль играют течения, простейшие в определенном смысле. В гидродинамике к таким можно отнести течения Куэтта между параллельными пластинами и коаксиальными цилиндрами [1], в механике твердого тела — деформирование тонкостенных трубчатых образцов [2], в механике сыпучей среды — однородный сдвиг материала [3].

Построение достаточно общих феноменологических моделей предполагает экспериментальное исследование различных путей нагружения, включая сложные, когда оси тензора напряжений относительно материальных объемов поворачиваются. Сложное нагружение металлов, горных пород и других твердых тел можно реализовать путем комбинирования внутреннего давления, кручения и растяжения трубчатых образцов. Однако для широкого класса материалов эта классическая методика либо существенно усложняется (например, для грунтов [4]), либо вообще неприменима.

Представляет интерес поиск класса сложных нагружений, которые, с одной стороны, можно было бы отнести к простейшим, с другой — можно использовать для испытания сыпучих, упруговязкопластических и других подобных материалов.

1. Как известно, однородное напряженно-деформированное состояние простейшее. Пусть в фиксированном направлении среда подвергается однородной деформации растяжения  $\Delta \varepsilon_1 = k \Delta t$ , а в ортогональном — деформации сжатия так, что объем не меняется:  $\Delta \varepsilon_2 = -k \Delta t$ . Затем через время  $\Delta t$  такое же однородное деформирование осуществляется в новых фиксированных направлениях, повернутых относительно прежних на угол  $-\Omega \Delta t$ , и т. д. Деформация плоская,  $\Omega$ ,  $k$  — положительные постоянные.

Для вывода уравнений рассмотрим дискретную последовательность указанных однородных нагружений. Пусть  $Ox_1x_2$  — исходная декартова система координат,  $\beta$  — угол между направлением растяжения  $Ox_1$  и осью  $Ox_1'$  (рис. 1). В координатах  $Ox_1x_2$  вектор приращения смещений, равен  $\{kx_1\Delta t, -kx_2\Delta t\}$ . Проектируя его на оси  $Ox_1'$ ,  $Ox_2'$  и переходя к переменным  $x_1'$ ,  $x_2'$ , получим

$$(1.1) \quad \Delta u_1' = k(\cos 2\beta x_1' + \sin 2\beta x_2') \Delta t, \quad \Delta u_2' = k(\sin 2\beta x_1' - \cos 2\beta x_2') \Delta t.$$

Разобьем промежуток времени от  $t$  до  $t_1$  на интервалы длиной  $\Delta t$ , положим дискретные значения  $\beta = -\Omega t$  и просуммируем смещения (1.1) при  $\Delta t \rightarrow 0$ ,  $t_1 \rightarrow t$ . В результате имеем систему

$$(1.2) \quad \begin{aligned} v_1' - dx_1'/dt &= k(\cos 2\Omega t x_1' - \sin 2\Omega t x_2'), \\ v_2' - dx_2'/dt &= -k(\sin 2\Omega t x_1' + \cos 2\Omega t x_2'), \end{aligned}$$

где  $v_1'$ ,  $v_2'$  — скорости материальной точки в координатах  $Ox_1'x_2'$ . Теперь можно считать, что система  $Ox_1'x_2'$  вращается непрерывно с угловой скоростью  $-\Omega$  относительно исходной системы. Уравнения (1.2) позволяют определить скорости в координатах  $Ox_1x_2$ :

$$(1.3) \quad v_1 = dx_1/dt = -\Omega x_2 + kx_1; \quad v_2 = dx_2/dt = \Omega x_1 - kx_2.$$

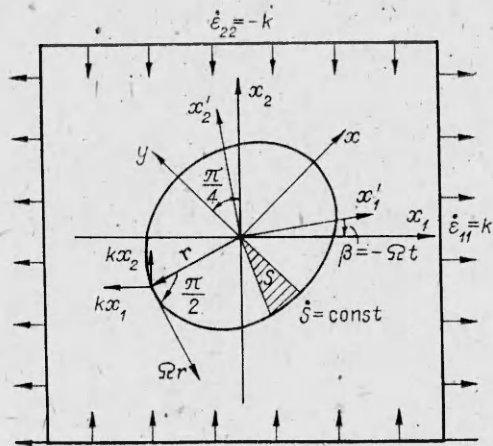
Характер решения (1.3) зависит от соотношения скоростей растяжения и поворота. При  $k < \Omega$

$$(1.4) \quad \begin{aligned} x_1 &= \left( \frac{k}{\lambda} a_1 - \frac{\Omega}{\lambda} a_2 \right) \sin \lambda t + a_1 \cos \lambda t, \\ x_2 &= \left( \frac{\Omega}{\lambda} a_1 - \frac{k}{\lambda} a_2 \right) \sin \lambda t + a_2 \cos \lambda t. \end{aligned}$$

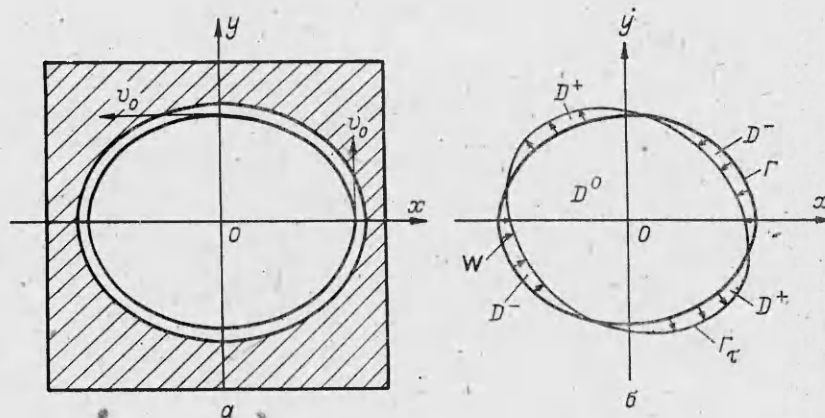
Здесь  $\lambda = \sqrt{\Omega^2 - k^2}$ ;  $a_1, a_2$  — координаты в момент  $t = 0$ . Если  $k \geq \Omega$ , то траектории незамкнуты и уходят на бесконечность. В данной ситуации возможность такого поведения на первый взгляд кажется парадоксальной. Однако она имеет простой механический смысл. В полярных координатах  $(r, \alpha)$  система (1.3) преобразуется к виду

$$d \ln r / dt = k \cos 2\alpha, \quad d\alpha / dt = \Omega - k \sin 2\alpha.$$

Последнее уравнение показывает, что угловая скорость обращения материальной точки вокруг центра зависит не только от скорости поворота  $\Omega$ , но и от скорости растяжения  $k$ . Причем при  $k \geq \Omega$  найдется радиус, на котором скорость обращения равна нулю. Этот радиус точка преодолеть не может и вследствие непрерывного растяжения уходит на бесконечность. Ниже ограничимся только первым случаем, когда  $k < \Omega$ . При этом, согласно (1.4), каждая точка движется по замкнутой эллиптической траектории, имеющей коэффициент сжатия  $\sqrt{(\Omega - k)/(\Omega + k)}$ . Большая ось эллипса направлена вдоль биссектрисы  $x_1 = x_2$ . Период обращения всех точек одинаков и равен  $2\pi/\lambda$ , т. е. всегда больше, чем  $2\pi/\Omega$ . Закон обращения обладает одной особенностью: векторное произведение скорости  $\mathbf{v}$  на радиус-вектор  $\mathbf{r}$  для всех точек на общей эллиптической траектории постоянно и не зависит от  $k$ . Иными словами, при движении вокруг



Р и с. 1



Р и с. 2

центра радиус-вектор точки за одинаковое время ометает одинаковые площади  $S$ . Например, для точки  $a_1 = 1, a_2 = 0$  при всех  $t$

$$(1.5) \quad |\mathbf{v} \times \mathbf{r}| = \Omega = \text{const}, \quad (\mathbf{v} \cdot \mathbf{n}) = 0,$$

где  $\mathbf{n}$  — нормаль к траектории.

Результаты (1.4), (1.5) получены исходя только из требования однородности деформирования сплошной среды. Нагружение квазистатическое, инерционные силы отсутствуют. Причина движения элементов среды — их взаимодействие, которое приводит к появлению внутренних напряжений и передаче информации о граничных смещениях во внутрь области. Квазистатической задаче о течении сплошной среды можно поставить в соответствие динамическую задачу о движении материальной точки. Пусть в некоторый момент времени между элементами среды распались все связи и вместо них появилось эквивалентное поле сил, которое для любой теперь уже отдельной частицы обеспечивает такое же движение, что и в сплошной среде. Определим эквивалентное поле для течения (1.3). Из (1.3) следует

$$d^2 x_1 / dt^2 = -(\Omega^2 - k^2)x_1, \quad d^2 x_2 / dt^2 = -(\Omega^2 - k^2)x_2.$$

Таким образом, однородному деформированию с непрерывным поворотом осей соответствует центральное поле сил с потенциалом, пропорциональным  $r^2$ . На этом языке свойство (1.5) — хорошо известное следствие центральности поля сил [6].

2. Итак, однородный процесс характеризуется условиями (1.5). Как реализовать подобное нагружение? Поскольку материальные точки движутся по замкнутым эллиптическим траекториям, для реализации необходимо выделить эллиптическую область и на границе задавать вектор скорости, направленный по касательной к границе. Величина скорости должна меняться по закону (1.5). Технически это осуществить довольно сложно. Проще сохранить только основные черты простейшей, однородной ситуации (преобразование эллиптической области в себя), а линейную скорость задавать постоянной. Такой процесс можно реализовать следующим образом. Поместим образец материала в прямой эллиптический цилиндр, ограниченный гибкой оболочкой. Нагружающее устройство выполним в виде жесткого вертикального цилиндра, во внутреннюю полость которого точно вставляется гибкая оболочка с образцом. Нагружение произведем относительным вращением внешнего цилиндра и оболочки (рис. 2,а). Указанный способ можно обобщить на более широкий класс областей: фигур постоянного диаметра, различных овалов и др.

Замена граничных условий (1.5) на

$$(2.1) \quad |\mathbf{v}| = v_0 = \text{const}, \quad (\mathbf{v} \cdot \mathbf{n}) = 0$$

порождает ряд вопросов. Во-первых, как неформально представить характер деформирования (2.1)? Для этого используем следующий прием. Пусть  $\Gamma$ ,  $\Gamma_\tau$  — конфигурации границы в моменты  $t$  и  $t + \tau$ , а  $D$ ,  $D_\tau$  — соответствующие области. Так как на границе заданы перемещения (скорости), то  $\Gamma$  и  $\Gamma_\tau$  известны. Совместим обе конфигурации. В общем случае при наложении появляются области трех типов:  $D^0 = D \cap D_\tau$ ,  $D^- = D \setminus D^0$  и  $D^+ = D_\tau \setminus D^0$ . Грубо говоря, результирующая деформация от  $t$  до  $t + \tau$  сводится к тому, что из  $D$  удаляются области несовместности  $D^-$  и добавляются области  $D^+$ . Поэтому их расположение и вид позволяют до решения задачи качественно определить характер процесса в целом и дать интегральную оценку деформаций как отношение площадей  $D^+ \cup D^-$  к  $D$ . Здесь возникает одно обстоятельство. Как правило, смещения на границе задаются из соображений удобства описания кинематики нагружающих устройств. Поэтому в этих смещениях могут содержаться приводящие составляющие, отвечающие жестким переносу и повороту деформируемого тела. Их необходимо исключить. Ограничимся задачей (2.1) при малых временах  $\tau$ . Заменяем граничные смещения  $u_1, u_2$  на  $w_1 = u_1 - \Delta\omega x_2, w_2 = u_2 + \Delta\omega x_1$ . Постоянную  $\Delta\omega$  определим из условия

$$\frac{1}{L} \oint_{\Gamma} \frac{\mathbf{w} \times \mathbf{r}}{r^2} dl = \mathbf{0},$$

где  $L$  — длина границы. Смещения  $w_1, w_2$  можно использовать для построения областей несовместности  $D^+, D^-$ . Видно (рис. 2, б), что их расположение таково, что в целом образец растягивается вдоль направления  $x = -y$  и сжимается вдоль ортогонального направления  $x = y$  (ср. с рис. 1).

При более детальном изучении удобнее исходить из краевых условий (2.1), хотя они и содержат неявно жесткий поворот. Это связано с тем, что в (2.1) граница не меняется и скорости на ней от времени не зависят. Поэтому для широкого класса материалов поля скоростей и напряжений внутри области выходят на стационарный режим. Помимо прямой экспериментальной проверки стационарности можно использовать следующий критерий. Подвергнем некоторый образец материала периодическому по деформациям нагружению. Если через определенное число циклов напряжения в образце перестают зависеть от его исходного состояния (т. е. память об исходной форме стирается) и сохраняется зависимость только от фазы внутри цикла, то материал можно отнести к указанному выше классу.

Итак, пусть течение (2.1) стационарно. Из-за симметрии материальный элемент в центре не испытывает переноса, а значит, ни расширения. Неизменными будут и главные направления тензора скоростей деформаций, скорости растяжения и сжатия вдоль главных осей, а также ротор скорости. Это означает, что центральный элемент находится в описанных выше «идеальных» условиях сложного нагружения с непрерывным поворотом осей.

Постановка модельных и реометрических экспериментов предполагает регистрацию фактических данных о тензорах напряжений, деформаций и их скоростей. При исследовании сложного нагружения основной вопрос о соосности или степени разности тензоров. Рассмотрим вначале способ определения компонент тензора деформаций. В данной ситуации нет никаких оснований считать повороты и деформации малыми. Для описания больших деформаций используются, как известно, различные меры, связанные с анализом изменения расстояний между парами близких точек [7]. Возможен и другой подход, когда внимание сосредоточивается не на относительных смещениях точек, а на преобразовании некоторых малых областей в целом без «разрешения» на смещения индивидуальных точек, принадлежащих этим областям.

Пусть  $a_i, x_i$  — лагранжевы и эйлеровы координаты точки,  $u_i$  — компоненты вектора смещения:

$$(2.2) \quad x_i = a_i + u_i(a_j, t), \quad i, j = 1, 2.$$

Зафиксируем при  $t = 0$  все материальные точки внутри круга с радиусом  $\varepsilon$  и центром  $a_i = a_i^0$ . Величину  $\varepsilon$  можно считать малой, но на производные  $\partial u_i / \partial a_j = u_{i,j}$  никаких ограничений накладывать не будем. В процессе деформирования окружность переходит в эллипс:

$$(2.3) \quad (1 + 2E_{22})y_1^2 - 4E_{12}y_1y_2 + (1 + 2E_{11})y_2^2 = \delta^2,$$

$$\text{где } y_i = [x_i - a_i^0 - u_i(a_j^0, t)]/\varepsilon; \quad E_{11} = u_{1,1} + (u_{1,1}^2 + u_{1,2}^2)/2; \quad E_{22} = u_{2,2} + (u_{2,1}^2 + u_{2,2}^2)/2; \quad 2E_{12} = u_{1,2} + u_{2,1} + u_{1,1}u_{2,1} + u_{1,2}u_{2,2}; \\ \delta = 1 + u_{1,1} + u_{2,2} + u_{1,1}u_{2,2} - u_{1,2}u_{2,1}.$$

Нетрудно доказать, что  $\delta$  — инвариант, а  $E_{ij}$  — компоненты тензора второго ранга  $E$ . Тензор деформаций  $E$  фактически совпадает с тензором Фингера [8] и отличается от тензора Грина заменой производных  $\partial u_i / \partial a_j$  на  $\partial u_j / \partial a_i$ . Механический смысл инварианта  $\delta$  и компонент  $E$  определяется равенством (2.3). Главные направления тензора совпадают с осями эллипса, в который преобразуется окрестность точки, представляющая собой круг:

$$(2.4) \quad \operatorname{tg} 2\alpha = 2E_{12}/(E_{11} - E_{22}).$$

Здесь  $\alpha$  — угол между главным направлением и осью  $Ox_1$ .

Для второго крайнего случая, когда в качестве «окрестности» берется отрезок  $a_1 = a_1^0 + \rho \cos \beta_0$ ,  $a_2 = a_2^0 + \rho \sin \beta_0$ ,  $|\rho| < \varepsilon$ , соотношения (2.2) приводят к формуле для угла поворота

$$\operatorname{tg}(\beta - \beta_0) = \frac{u_{2,1} + (u_{2,2} - u_{1,1}) \operatorname{tg} \beta_0 - u_{1,2} \operatorname{tg}^2 \beta_0}{(1 + u_{1,1}) + (u_{1,2} + u_{2,1}) \operatorname{tg} \beta_0 + (1 + u_{2,2}) \operatorname{tg}^2 \beta_0}.$$

Тензор  $E$  позволяет непосредственно проследить характер деформирования материальных объемов в процессе нагружения тела. Например, для течения (1.4)  $\operatorname{tg} 2\alpha = (\Omega/\lambda) \operatorname{tg} \lambda t$ ,  $\delta = 1$  и полуоси эллипса, отнесенные к радиусу исходного круга, равны  $1 \pm (k/\Omega) \sin \Omega t$ . Здесь для сокращения записей принято, что  $k \ll \Omega$ .

Из определения (2.3) следует способ экспериментального измерения компонент  $E_{ij}$ . Пометим в начальный момент времени все точки внутри достаточно малого круга. Будем фиксировать параметры эллипса, в который преобразуется круг в процессе нагружения тела. Уравнение (2.3) позволяет по этим данным восстановить компоненты  $E_{ij}$ . Выше тензор  $E$  и вводился в связи с тем, что измерения параметров эллипса осуществить проще, чем относительные смещения близких точек. Для центрального элемента измерения подтверждают выполнение равенств (1.4) и, кроме того, позволяют определить скорость поворота, величину и главное направление тензора скоростей деформаций  $\varepsilon_1$  в течении (2.1).

Перейдем к вопросу о напряжениях. Поместим в центр образца плавающие датчики нормальных и касательных напряжений. Датчики измеряют напряжения между одними и теми же материальными частицами. В стационарном режиме соответствующие диаграммы периодические по времени. Ориентация датчика, которой соответствует экстремум нормальных или нулевое значение касательных компонент, определяет главное направление тензора напряжений  $\sigma_1$ . По соотношению направлений  $\sigma_1$  и  $\varepsilon_1$  можно судить о степени соосности тензоров.

Таким образом, схема нагружения (2.1) позволяет полностью заменить однородную схему (1.5). Кроме того, здесь обнаруживается один эффект, представляющий самостоятельный интерес. Предположим, что между оболочкой и материалом обеспечено прилипание (это условие не-



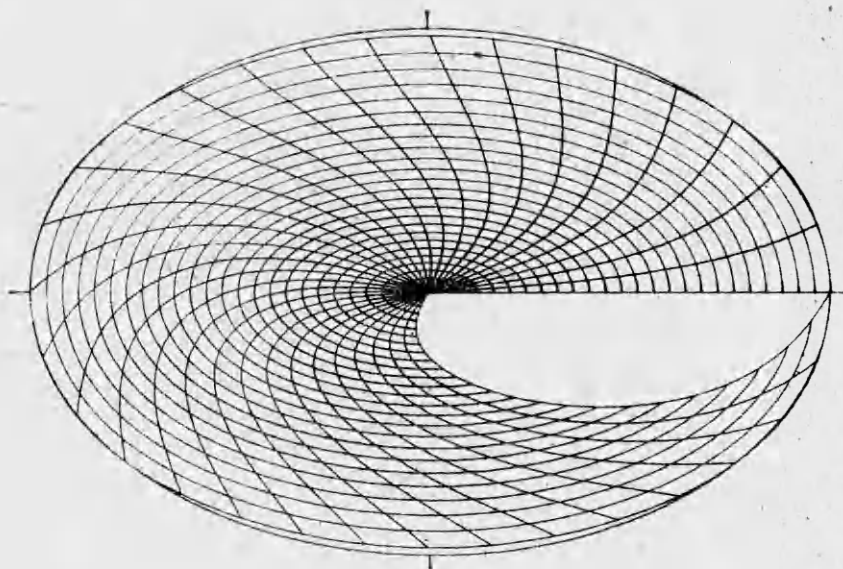
Рис. 3

принципиально). Согласно (2.1), через время  $L/v_0$  все граничные точки совершат полный оборот и вернуться в свое исходное положение. Очевидно, что в упругом образце и все внутренние точки также вернуться в свое первоначальное положение. Для широкого класса неупругих материалов это не так: за один цикл внутренние точки описывают почти замкнутые траектории, но к первоначальному положению не возвращаются. Это приводит к тому, что с увеличением числа циклов «остаточные» смещения накапливаются. С точки зрения наблюдателя, связанного с частицей на границе, процесс выглядит как направленный перенос материальных элементов внутри области (рис. 3, сухой песок; в исходном состоянии половина образца окрашена в черный цвет). Эффект направленного переноса наблюдается для вязких жидкостей, сыпучих, пластических и ряда других материалов, обладающих более сложной реологией. Основные черты этого процесса можно проследить на модели ньютоновской вязкой жидкости. Задача сводится к решению стационарных уравнений Навье — Стокса

$$(2.5) \quad \begin{aligned} \nu \Delta u - \frac{1}{\rho} \frac{\partial p}{\partial x} &= u \frac{\partial u}{\partial x} + v \frac{\partial u}{\partial y}, \\ \nu \Delta v - \frac{1}{\rho} \frac{\partial p}{\partial y} - u \frac{\partial v}{\partial x} + v \frac{\partial v}{\partial y}, \quad \frac{du}{dx} + \frac{dv}{dy} &= 0, \end{aligned}$$

внутри области  $x^2/(1+m)^2 + y^2/(1-m)^2 \leq 1$  при условии, что на границе заданы обе компоненты скорости  $\mathbf{v} = \{u, v\}$ , удовлетворяющие равенствам (2.1), где  $v_0 = 1$  (см. рис. 2, а). Здесь использованы стандартные обозначения:  $x, y$  — декартовы координаты;  $\nu$  — вязкость;  $\rho, p$  — плотность и давление;  $\Delta$  — оператор Лапласа. Ограничимся случаем большой вязкости (число Рейнольдса  $Re \ll 1$ ) и малых эксцентриситетов ( $m \ll 1$ ). Методом малого параметра система сводится к последовательности бигармонических уравнений относительно членов разложения функции тока. Используя схему [9], получим

$$(2.6) \quad \begin{aligned} u &= -y + m(-3y + 2y^3) + m^2 \left( \frac{7}{4}y + \frac{7}{2}y^3 - \frac{9}{4}y^5 - \right. \\ &\quad \left. - \frac{21}{2}x^2y + \frac{15}{2}x^2y^3 + \frac{15}{4}x^4y \right) + m^3 \left( \frac{87}{8}y - \frac{57}{4}y^3 - \frac{33}{8}y^5 + \right. \\ &\quad \left. + \frac{5}{2}y^7 + \frac{165}{4}x^2y^3 - \frac{165}{8}x^4y - \frac{105}{4}x^2y^5 + \frac{35}{4}x^6y \right) + \\ &\quad + \frac{Re \cdot m}{16} (x - 2x^3 + x^5 - 6xy^2 + 5xy^4 + 6x^3y^2), \\ v &= x + m(-3x + 2x^3) + m^2 \left( -\frac{7}{4}x - \frac{7}{2}x^3 + \frac{9}{4}x^5 + \frac{21}{2}xy^2 - \right. \\ &\quad \left. - \frac{15}{2}x^3y^2 - \frac{15}{4}xy^4 \right) + m^3 \left( \frac{87}{8}x - \frac{57}{4}x^3 - \frac{33}{8}x^5 + \frac{5}{2}x^7 + \right. \\ &\quad \left. + \frac{165}{4}x^3y^2 - \frac{165}{8}xy^4 - \frac{105}{4}x^5y^2 + \frac{35}{4}xy^6 \right) + \frac{Re \cdot m}{16} (-y + 2y^3 - \\ &\quad - y^5 + 6x^2y - 5x^4y - 6x^2y^3). \end{aligned}$$



Р и с. 4

Перенос частиц и характер деформирования материальных объемов определялись численным интегрированием \* системы обыкновенных дифференциальных уравнений

$$(2.7) \quad \frac{dx}{dt} = u(x, y), \quad \frac{dy}{dt} = v(x, y).$$

Расчеты показали, что частицы движутся вокруг центра по замкнутым траекториям. Однако периоды обращения на различных траекториях различны. На рис. 4 показаны траектории и положения частиц, расположенных вначале на большой полуоси эллипса ( $m = 0,2$ ). Различие в периодах приводит к тому, что внутренние деформации с увеличением времени неограниченно растут. Причем это увеличение происходит в условиях, когда внешние деформации малы (порядка  $m$ ). Например, области, первоначально близкие к полукругу, в процессе деформирования приобретают спиралевидную форму (см. рис. 3, 4). С увеличением числа циклов они все больше закручиваются вокруг центра и в пределе вырождаются в две бесконечно тонкие и длинные спирали, которые вложены друг в друга так, что, последовательно чередуясь, целиком заполняют исходную двумерную область.

Для вязких жидкостей роль малых параметров  $m$  и  $Re$  в развитии течения различна: параметр  $m$  входит в ряд (2.6) без коэффициента  $Re$ , а  $Re$  фигурирует только в произведении с  $m$ . Поэтому роль последнего в формировании «остаточных» смещений на фоне параметра  $m$  незначительна. Более того, если перейти к пределу  $Re \rightarrow 0$  ( $\nu \rightarrow \infty$ ), то кинематика течения по сравнению с вариантом  $Re \ll 1$  практически не изменится даже количественно.

Далее, предельное решение  $Re = 0$  — это фактически решение следующей линейной упругой задачи: смещение на границе эллиптической области равно  $v_0 \Delta t$  и направлено по касательной к границе, а смещения внутри области равны  $u(x, y) \Delta t$ ,  $v(x, y) \Delta t$ , где  $\Delta t$  — сколь угодно малый параметр. Сделаем новый шаг по параметру нагружения, т. е. снова дадим приращения граничных смещений  $v_0 \Delta t$ , направленные вдоль границы. Так как очертание границы после первого шага не изменилось и, кроме того, все деформации и повороты малы (порядка  $\Delta t$ ), то возникает искушение для нового шага воспользоваться прежним решением. Тогда резуль-

\* Эксперименты и численные расчеты проводились совместно с А. П. Бобряковым и В. И. Крамаренко.

тирующее смещение точки  $(a_1, a_2)$  должно равняться

$$\{u(a_i)\Delta t + u(a_1 + u(a_i)\Delta t, a_2 + v(a_i)\Delta t)\Delta t, \\ v(a_i)\Delta t + v(a_1 + u(a_i)\Delta t, a_2 + v(a_i)\Delta t)\Delta t\}$$

и т. д. Суммируя достаточное число шагов от  $t = 0$  до  $t$  и устремляя  $\Delta t$  к нулю, находим, что поле упругих смещений должно определяться интегрированием системы (2.6), (2.7) при  $\text{Re} \equiv 0$  и начальных условиях  $u \equiv v \equiv 0$ . Однако интегрирование приводит к тому, что при  $t = L/v_0$  внутренние точки тела в исходное состояние не возвращаются. Полученный результат можно рассматривать как пример, показывающий, что решение геометрически нелинейной задачи нельзя свести к суммированию пошаговых линейных решений даже в условиях, когда граница области всегда неизменна и шаги по параметру нагружения, а также соответствующие деформации и повороты сколь угодно малы. В общем случае этот вопрос исследовался в [10].

С другой стороны, при корректных постановке и численной реализации пошаговое решение должно приводить к тому, что «остаточные» смещения за полный цикл будут равны нулю. Этот факт можно использовать как тестовый для проверки уравнений, алгоритмов и программ численного решения упругих геометрически нелинейных задач. Указанный тест относится к существенно двумерной постановке, большим поворотам и деформациям (если параметр  $m$  немал). В задаче для эллиптической области с краевыми условиями (1.5) априорно известна большая информация: помимо отсутствия «остаточных» смещений распределение деформаций и напряжений должно быть однородным (исключая случаи, когда материал неустойчив и возможна бифуркация). Эти факты можно взять как тестовые и для неупругих постановок.

Таким образом, рассмотренные методика и способ реализации сложных нагружений могут быть использованы для исследования сыпучих, упруговязкопластических и других материалов, для которых неприменима классическая методика испытания тонкостенных трубчатых образцов [11]. Решения для эллиптических областей с краевыми условиями (1.5) или (2.1) тестовые для проверки численных алгоритмов и постановок геометрически нелинейных задач. Для широкого класса неупругих сред обнаруживается эффект дифференциального вращения или направленного переноса, представляющий интерес также для ряда технических приложений [12, 13]. Описанный процесс сложного нагружения можно интерпретировать как модель деформирования Земли под действием приливных сил. В этом случае эффект дифференциального вращения означает возможность глобального механизма переноса масс Земли и ее жидкого ядра вследствие движения приливных волн [14].

#### ЛИТЕРАТУРА

1. Кочин Н. Е., И. А. Кибель, Розе Н. В. Теоретическая гидромеханика. — М.: Физматгиз, 1963.
2. Жуков А. М., Работнов Ю. Н. Исследование пластических деформаций стали при сложном нагружении. — Инж. сб., 1954, № 8.
3. Бобряков А. П., Ревуженко А. Ф., Шемякин Е. И. Однородный сдвиг сыпучего материала. Локализация деформаций. — ФТПРПИ, 1983, № 5.
4. Ломизе Г. М., Иващенко И. Н., Захаров М. Н. Деформируемость глинистого грунта в условиях сложного нагружения. — Основания, фундаменты и механика грунтов, 1970, № 6.
5. Ревуженко А. Ф., Чанышев А. И., Шемякин Е. И. Математические модели упругопластических тел. — В кн.: Актуальные проблемы вычислительной математики и математического моделирования. Новосибирск: Наука, 1985.
6. Ландау Л. Д., Лифшиц Е. М. Механика. — М.: Наука, 1973.
7. Лурье А. И. Теория упругости. — М.: Наука, 1970.
8. Прагер В. Введение в механику сплошных сред. — М.: ИЛ, 1963.
9. Мухелишвили Н. И. Некоторые основные задачи математической теории упругости. — М.: Наука, 1966.
10. Слепян Л. И., Витязева Е. В. Об одном приближенном методе решения задач теории упругости в случае больших деформаций. — ДАН СССР, 1984, т. 277, № 3.



11. Шемякин Е. И., Ревуженко А. Ф. и др. Устройство для испытания образцов сыпучих материалов. — БИ, 1984, № 48.
12. Ревуженко А. Ф., Шемякин Е. И., Бобряков А. П. Способ смешивания сыпучих материалов. — БИ, 1985, № 46.
13. Шемякин Е. И., Ревуженко А. Ф. и др. Способ получения композиционных заготовок и устройство для его осуществления. — БИ, 1985, № 47.
14. Бобряков А. П., Ревуженко А. Ф., Шемякин Е. И. О возможном механизме перемещения масс Земли. — ДАН СССР, 1983, т. 272, № 5.

Поступила 2/VII 1985 г.

УДК 534.2 + 539.374

## О НЕЛИНЕЙНЫХ ВОЛНАХ В МАКСВЕЛЛОВСКОЙ СРЕДЕ

А. И. Малкин, Н. Н. Мягков

(Москва)

Исследование распространения нестационарных нелинейных волн в процессах взрывной или ударной деформации металлов связано со значительными математическими трудностями и требует, как правило, больших затрат машинного времени. Во многих практических приложениях волны, возникающие в металле при взрыве и ударе, можно считать слабыми в смысле малости относительного изменения плотности вещества в волне [1]. Поэтому значительный интерес здесь представляет разработка приближенных методов анализа нелинейных волн, основанных на разложении решения по заданному малому параметру.

Для решения нелинейных волновых задач в гидродинамике и теории упругости в настоящее время развит эффективный асимптотический метод многих масштабов (МММ) [2—5], позволяющий находить равномерно пригодные на некотором большом промежутке времени приближения к решению сложных исходных систем уравнений. Необходимость учета прочностных эффектов в металлах при взрывной деформации или ударе с умеренными скоростями требует распространения МММ на более сложные системы уравнений, описывающих, например, поведение максвелловской среды [6], которая при небольших напряжениях упруга, а при достаточно больших — течет. Однако применение МММ к волновым задачам в таких средах не является формальной процедурой. Это связано с резкой зависимостью от напряжения кинетических характеристик среды (например, времени релаксации касательных напряжений) в области упругопластического перехода. Последнее препятствует прямому разложению упруговязких членов, ответственных за кинетику, в ряд по малому параметру  $\epsilon$  (характеризующему относительное изменение плотности вещества в волне) из начального условия.

Цель данной работы — построение на основе техники многомасштабных разложений приближенных уравнений для описания плоских нелинейных волн деформации в изотропной максвелловской среде. На основе предложенного приближенного подхода решена задача о распространении ударной волны при контактном взрыве на границе полупространства.

1. В нелинейной теории волн МММ применяется для факторизации сложных исходных систем уравнений на систему независимых уравнений для функций, являющихся аналогами обычных римановских инвариантов, т. е. постоянных в нулевом приближении вдоль своих характеристических направлений [4, 5]. В основе метода лежит предположение о медленности изменения этих функций, вызванного нелинейностью и кинетическими процессами в среде.

Исходные одномерные уравнения нелинейной теории упругости [6, 7], описывающие в главных осях поведение изотропной упруговязкой максвелловской среды, запишем в лагранжевой системе координат:

$$(1.1) \quad \frac{\partial \rho}{\partial t} + \rho \frac{\partial u}{\partial x} = 0, \quad \frac{\partial u}{\partial t} - \frac{1}{\rho} \frac{\partial \sigma_1}{\partial x} = \mu_1 \frac{\partial^2 u}{\partial x^2}$$

$$\frac{\partial S}{\partial t} = -\frac{1}{2T} \Phi_k \frac{\partial E}{\partial \epsilon_k} + \frac{1}{\rho T} \left( \mu_2 \frac{\partial^2 T}{\partial x^2} + \mu_1 \left( \frac{\partial u}{\partial x} \right)^2 \right),$$

$$\frac{\partial \epsilon_i}{\partial t} = \psi_i \quad (i = 2, 3), \quad \Phi_k = -\frac{1}{\tau(\epsilon_i, S)} \left[ \epsilon_k - \frac{1}{2} \left( 1 + \frac{3\rho}{\rho_{\epsilon_1} + \rho_{\epsilon_2} + \rho_{\epsilon_3}} \right) \right]$$

$$(k = 1, 2, 3),$$